

VII-5 基本ダイヤグラムの変化を考慮した道路システムの自動車交通流解析

九州大学 工学部

正会員

橋木 武

○学生員

板井 幸市

1. まえがき 著者らは、先に連続圧縮体相似モデルによる交通流理論により、道路システム全体が一様な流量-密度曲線（以下、Q-Dカーブと呼ぶ）の場合の交通流解析を行なった特性を明らかにした。しかし、実際の道路システムは、場所により違つてQ-Dカーブを持つため、交通密度は必ずしも一様な連続性を示さないばかりでなく、ある断面で急躍的に変化し、交通渋滞、さまで渋滞現象を生じ、これを解明することが重要である。そこで、本研究では、先に提案して著者らの解析理論を拡張応用し、この種の問題解明のための理論を確立することを企図するものである。

2. 基礎理論 交通流を記述する基礎式として、文献¹⁾の結果を用いれば、次のとおりである。

$$\left[\left(V_{ij} + \frac{1}{\Delta t} T_{ij} \right) D_{ij}^{(I+1)} \right] - \left[\frac{1}{\Delta t} T_{ij} \cdot D_{ij}^{(I)} \right] - [Q_{ij}] = 0 \quad (1)$$

$$\text{ここで, } V_{ij} = \frac{V_{ii}}{2} \begin{bmatrix} -1 & 1 \\ -1 & 1 \end{bmatrix}, \quad T_{ij} = \frac{l_{ij}}{6} \begin{bmatrix} 2 & 1 \\ 1 & 2 \end{bmatrix}$$

$$Q_{ij} = \frac{B_{ij} l_{ij}}{2} \begin{Bmatrix} 1 \\ 1 \end{Bmatrix}, \quad D_{ij} = \begin{Bmatrix} D_i \\ D_j \end{Bmatrix}$$

T_{ij} : 要素 $i-j$ の密度に対応するQ-Dカーブの勾配, l_{ij} : 要素 $i-j$ の長さ

B_{ij} : 単位長さ単位時間当たり発生分布交通量, Δt : $[t^{(I)}, t^{(I+1)}]$ の時間

D_i : i 地点における交通密度

すなはち、サブタイム (I) は時刻 $t^{(I)}$ における諸値を示す。

ところで、図-1に示すようなモデルを考え、すなはちの上流側と下流側が図-2のようくQ-Dカーブが異なるものとする。すなはち、交通量は連続であるので、すなはちの上流側が、 $D_{ij,1}$ である。交通密度は、すなはちを通過するときに $D_{ij,2}$ に達するものを見なし得る。従って、式(1)の計算に於いて、要素 $i-j$ 間ではすなはちの密度を $D_{ij,1}$ とし、要素 $j-k$ 間では $D_{ij,2}$ を用ひなければならぬことが分かる。

簡単のため、式(1)を次のように書き改める。

$$[A_{ij} D_{ij}^{(I+1)}] = [B_{ij} D_{ij}^{(I)}] + [Q_{ij}] \quad (2)$$

式(2)の左辺への要素 $i-j$ の寄与 Δ_{ij} は

$$\Delta_{ij} = A_{ij} D_{ij}^{(I+1)} - B_{ij} D_{ij}^{(I)} - Q_{ij} \quad (3)$$

であり、これを用ひるべきすなはちの密度 D_{ij} は $D_{ij} = D_{ij,2}$ である。

これに反して、要素 $j-k$ の寄与 Δ_{jk} は $D_{jk} = D_{jk,2}$ を用ひなければならぬ。従って、すなはちに於ける密度を、連続成分と能躍成分に分割し、 $D_{jk} = D_{jk}' + D_{jk}''$ とすれば、

$$D_{jk}' = \begin{cases} D_{jk,1} \\ D_k \end{cases} \quad (\text{連続成分}), \quad D_{jk}'' = \begin{cases} D_{jk,2} - D_{jk,1} \\ 0 \end{cases} \quad (\text{能躍成分}) \quad (5)$$

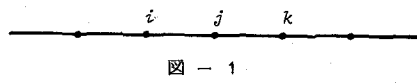


図-1

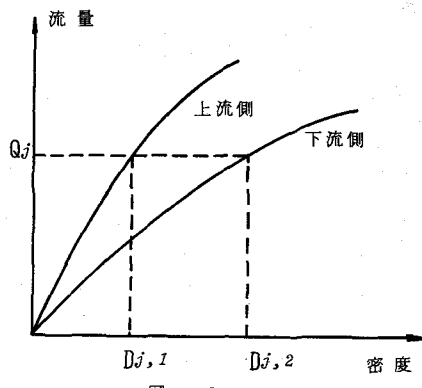


図-2

$$\Delta_{jk} = A_{jk} D_{jk}^{(t+1)} - B_{jk} D_{jk}^{(t)} - Q_{jk} \quad (4)$$

である。式(5)を用いて、式(4)を変形すれば、

$$\Delta_{jk} = A_{jk} D_{jk}^{(t+1)} + A_{jk} D_{jk}^{(t+1)} - B_{jk} D_{jk}^{(t)} - B_{jk} D_{jk}^{(t)} - Q_{jk} \quad (6)$$

従って、2、通路システム全体について集積すれば、

$$[A_{jk} D_{jk}^{(t+1)}] = [A_{jk} D_{jk}^{(t+1)}] - [B_{jk} D_{jk}^{(t)}] - [B_{jk} D_{jk}^{(t)}] - [Q_{jk}] \quad (7)$$

となり、これが本題の基礎式となる。

$t = 3.2^{\circ}$ 、解析に当たる時は、式(7)右辺の第1項は未知である。従って、2、すなはち、 $D_{jk}^{(t+1)} = D_{jk}^{(t)}$ と仮定して、式(7)を近似的に解析し、その成果を用いて $D_{jk}^{(t+1)}$ の第1近似値を算出する。つづき、同様の演算を収束するまで繰り返せば、式(7)の解が得られるところである。

3 計算結果および考察 1例として、延長 2.1km の 1 バイパスシステムの通路 k 、図-3 のような三角波流入交通量が流入する場合を取り上げる。使用する Q-D カーブは 1.1km の地点の上流側を下流側で、図-5 のように置かれたものとする。この時、各時刻 t に於ける各車の交通量が図-4 のように表される。1.1km の地点で、波形が折山、左から下流へ移る波形が最も早く、2.1km で合流する。

これは、下流側の Q-D カーブの勾配が、上流側に比べて小さくなるため

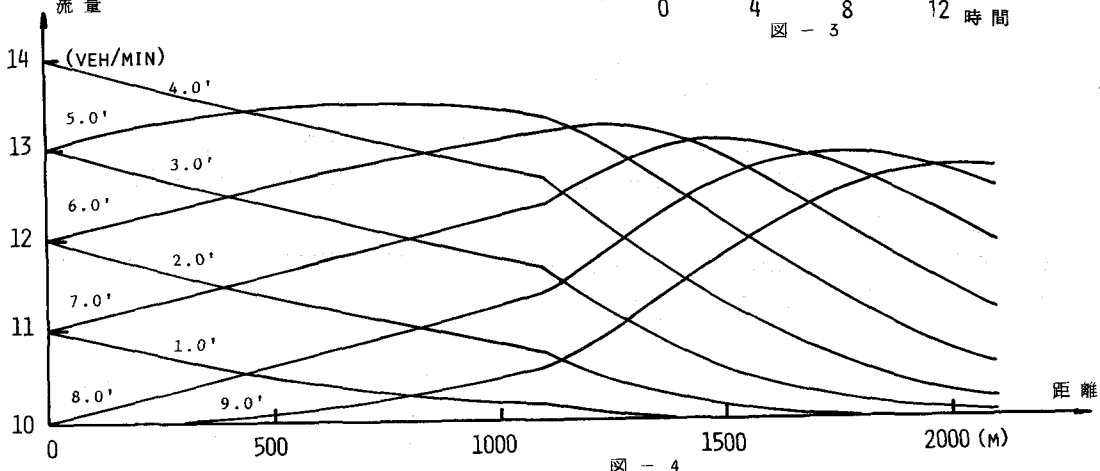


図-4

下流側の波の伝播速度が小さくはないのである。また、1.1km で、

上流の波形は通路システム全体の上流側と同じ Q-D カーブを持つ場合と同じように進む。このことは、下流側の交通量が、その限界容量に達した後、隣りの上流側に影響を与えること、当然の帰結と意味のあるものである。

4 おわりに 伝播量の導入により、Q-D カーブが一様ではなく、通路システムの解析が可能となる。今後、ある地点の交通量が、その限界容量に達した時 k 、上流側へ伝播していく衝撃波の速度を求めることがより、交通渋滞、発生機構および消滅機構についての研究を進めて行きたいと考えている。

(参考文献) 1) 横木・馬場 連続圧縮体相似による交通流解析
(第3報) (1979年)

